

Тиристор лавинный ТЛ271-320



Средний прямой ток		I_{TAV}		320 А				
Повторяющееся импульсное напряжение в закрытом состоянии		U_{DRM}		600÷1200 В				
Повторяющееся импульсное обратное напряжение		U_{RRM}						
Время выключения		t_q		160 мкс				
U_{DRM}, U_{RRM} , В	600	700	800	900	1000	1100	1200	
Класс по напряжению	6	7	8	9	10	11	12	
T_p , °C				-60÷140				

ПРЕДЕЛЬНО ДОПУСТИМЫЕ ЗНАЧЕНИЯ ПАРАМЕТРОВ

Обозначение и наименование параметра		Ед. изм.	Значение	Условия измерения		
Параметры в проводящем состоянии						
I_{TAV}	Средний ток в открытом состоянии	A	320	$T_c=97$ °C; 180 эл. град. синус; 50 Гц		
I_{TRMS}	Действующий ток в открытом состоянии	A	502	$T_c=97$ °C; 180 эл. град. синус; 50 Гц		
I_{TM}	Ударный ток в открытом состоянии	kA	9.0	$T_j=T_{jmax}$	180 эл. град. синус; $t_p=10$ мс; единичный импульс; $U_0=U_R=0$ В; Импульс управления: $I_G=2$ А; $t_{GP}=50$ мкс; $di/dt \geq 1$ А/мкс	
			10.5	$T_j=25$ °C	180 эл. град. синус; $t_p=8.3$ мс; единичный импульс; $U_0=U_R=0$ В; Импульс управления: $I_G=2$ А; $t_{GP}=50$ мкс; $di/dt \geq 1$ А/мкс	
I^2t	Защитный фактор	$A^2 \cdot 10^3$	400	$T_j=T_{jmax}$	180 эл. град. синус; $t_p=10$ мс; единичный импульс; $U_0=U_R=0$ В; Импульс управления: $I_G=2$ А; $t_{GP}=50$ мкс; $di/dt \geq 1$ А/мкс	
			550	$T_j=25$ °C	180 эл. град. синус; $t_p=8.3$ мс; единичный импульс; $U_0=U_R=0$ В; Импульс управления: $I_G=2$ А; $t_{GP}=50$ мкс; $di/dt \geq 1$ А/мкс	
			370	$T_j=T_{jmax}$	180 эл. град. синус; $t_p=8.3$ мс; единичный импульс; $U_0=U_R=0$ В; Импульс управления: $I_G=2$ А; $t_{GP}=50$ мкс; $di/dt \geq 1$ А/мкс	
			500	$T_j=25$ °C	180 эл. град. синус; $t_p=8.3$ мс; единичный импульс; $U_0=U_R=0$ В; Импульс управления: $I_G=2$ А; $t_{GP}=50$ мкс; $di/dt \geq 1$ А/мкс	

Блокирующие параметры				
$U_{\text{ORM}}, U_{\text{RRM}}$	Повторяющееся импульсное обратное напряжение и повторяющееся импульсное напряжение в закрытом состоянии	V	600÷1200	$T_{j\min} < T_j < T_{j\max}$ 180 эл. град. синус; 50 Гц; управление разомкнуто
$U_{\text{OSM}}, U_{\text{IGM}}$	Неповторяющееся импульсное обратное напряжение и неповторяющееся импульсное напряжение в закрытом состоянии	V	700÷1300	$T_{j\min} < T_j < T_{j\max}$ 180 эл. град. синус; единичный импульс; управление разомкнуто
$U_{(\text{пр})}$	Пробивное обратное напряжение	V	850÷1700	$T_{j\min} < T_j < T_{j\max}; I_{\text{RRM}} = 100 \text{ mA}; 180 \text{ эл. град. синус; единичный импульс; управление разомкнуто}$
$U_{\text{D}}, U_{\text{R}}$	Постоянное обратное и постоянное прямое напряжение	V	$0.6 U_{\text{ORM}}$ $0.6 U_{\text{RRM}}$	$T_j = T_{j\max}$ управление разомкнуто
P_{RSM}	Ударная обратная рассеиваемая мощность	kВт	16	$T_j = T_{j\max}; t_0 = 100 \mu\text{s}; 180 \text{ эл. град. синус; единичный импульс}$
Параметры управления				
I_{FGM}	Максимальный прямой ток управления	A	6	$T_j = T_{j\max}$
U_{GOM}	Максимальное обратное напряжение управления	V	5	
P_{G}	Максимальная рассеиваемая мощность по управлению	Вт	3	
Параметры переключения				
$(di_v/dt)_{\text{crit}}$	Критическая скорость нарастания тока в открытом состоянии ($f=1 \text{ Hz}$)	A/ μs	800	$T_j = T_{j\max}; U_0 = 0.67 U_{\text{ORM}}; I_{\text{TM}} = 3000 \text{ A};$ Импульс управления: $I_G = 2 \text{ A}; t_{GP} = 50 \mu\text{s}; di_G/dt \geq 2 \text{ A}/\mu\text{s}$
Тепловые параметры				
$T_{\text{заг}}$	Температура хранения	°C	-60÷50	
T_j	Температура р-п перехода	°C	-60÷140	
Механические параметры				
M	Крутящий момент затяжки	Нм	25÷35	
a	Ускорение	m/s^2	100	

ХАРАКТЕРИСТИКИ

Обозначение и наименование характеристики	Ед. изм.	Значение	Условия измерения
Характеристики в проводящем состоянии			
U_{TM}	V	1.65	$T_j = 25 \text{ }^\circ\text{C}; I_{\text{TM}} = 1005 \text{ A}$
$U_{\text{tr(tо)}}$	V	1.012	$T_j = T_{j\max};$ $0.5 \mu \text{A} I_{\text{TAV}} < I_T < 1.5 \mu \text{A} I_{\text{TAV}}$
r_T	мОм	0.717	
I_L	mA	700	$T_j = 25 \text{ }^\circ\text{C}; U_0 = 12 \text{ V};$ Импульс управления: $I_G = 2 \text{ A}; t_{GP} = 50 \mu\text{s}; di_G/dt \geq 1 \text{ A}/\mu\text{s}$
I_h	mA	300	$T_j = 25 \text{ }^\circ\text{C}; U_0 = 12 \text{ V};$ управление разомкнуто
Блокирующие характеристики			
$I_{\text{orm}}, I_{\text{rrm}}$	mA	35	$T_j = T_{j\max};$ $U_D = U_{\text{ORM}}; U_R = U_{\text{RRM}}$
$(du_0/dt)_{\text{crit}}$	V/ μs	320 500 1000	$T_j = T_{j\max};$ $U_0 = 0.67 U_{\text{ORM}}$; управление разомкнуто

Характеристики управления

U_{GT}	Отпирающее постоянное напряжение управления, макс	V	3.00 2.50 1.50	$T_f = T_{j\min}$ $T_f = 25^\circ C$ $T_f = T_{j\max}$	$U_0=12 V; I_0=3 A;$ Постоянный ток управления
I_{GT}	Отпирающий постоянный ток управления, макс	mA	400 250 150	$T_f = T_{j\min}$ $T_f = 25^\circ C$ $T_f = T_{j\max}$	
U_{GO}	Неотпирающее постоянное напряжение управления, мин	V	0.60	$T_f = T_{j\max}$	
I_{GO}	Неотпирающий постоянный ток управления, мин	mA	30.00	$U_0=0.67 U_{DRM};$	Постоянный ток управления

Динамические характеристики

t_{gd}	Время задержки включения, макс	мкс	1.25	$T_f = 25^\circ C; U_0 = 600 V; I_{TM} = I_{TAV};$ $di/dt = 200 A/\text{мкс};$	
t_{g1}	Время включения, макс	мкс	4.00	Импульс управления: $I_G = 2 A; U_G = 20 V;$ $t_{g1} = 50 \text{ мкс}; di_G/dt = 2 A/\text{мкс}$	
t_q	Время выключения ³⁾ , макс	мкс	160	$du_0/dt = 50 V/\text{мкс}; T_f = T_{j\max}; I_{TM} = I_{TAV}; di_q/dt = -10 A/\text{мкс}; U_R = 100 V;$ $U_0 = 0.67 U_{DRM};$	
Q_{cr}	Заряд обратного восстановления, макс	мкКл	490	$T_f = T_{j\max}; I_{TM} = 320 A; di_q/dt = -10 A/\text{мкс}; U_R = 100 V$	
t_{tr}	Время обратного восстановления, макс	мкс	13.0		
I_{rRM}	Ток обратного восстановления, макс	A	75.0		

Тепловые характеристики

R_{ThC}	Тепловое сопротивление р-п переход-корпус, макс	$^\circ C/Vt$	0.0850	Постоянный ток
-----------	---	---------------	--------	----------------

Механические характеристики

w	Масса, макс	г	440	
D_s	Длина пути тока утечки по поверхности	мм (дюйм)	12.4 (4.882)	
D_a	Длина пути тока утечки по воздуху	мм (дюйм)	12.4 (4.882)	

МАРКИРОВКА

ТЛ	271	320	12	A2	T2	УХЛ2
1	2	3	4	5	6	7

1. Низкочастотный тиристор
2. Конструктивное исполнение
3. Средний ток в открытом состоянии, А
4. Класс по напряжению
5. Критическая скорость нарастания напряжения в закрытом состоянии, В/мкс
6. Группа по времени выключения ($dv_0/dt = 50 V/\text{мкс}$)
7. Климатическое исполнение по ГОСТ 15150: УХЛ2, Т2

ПРИМЕЧАНИЕ

1) Критическая скорость нарастания напряжения в закрытом состоянии

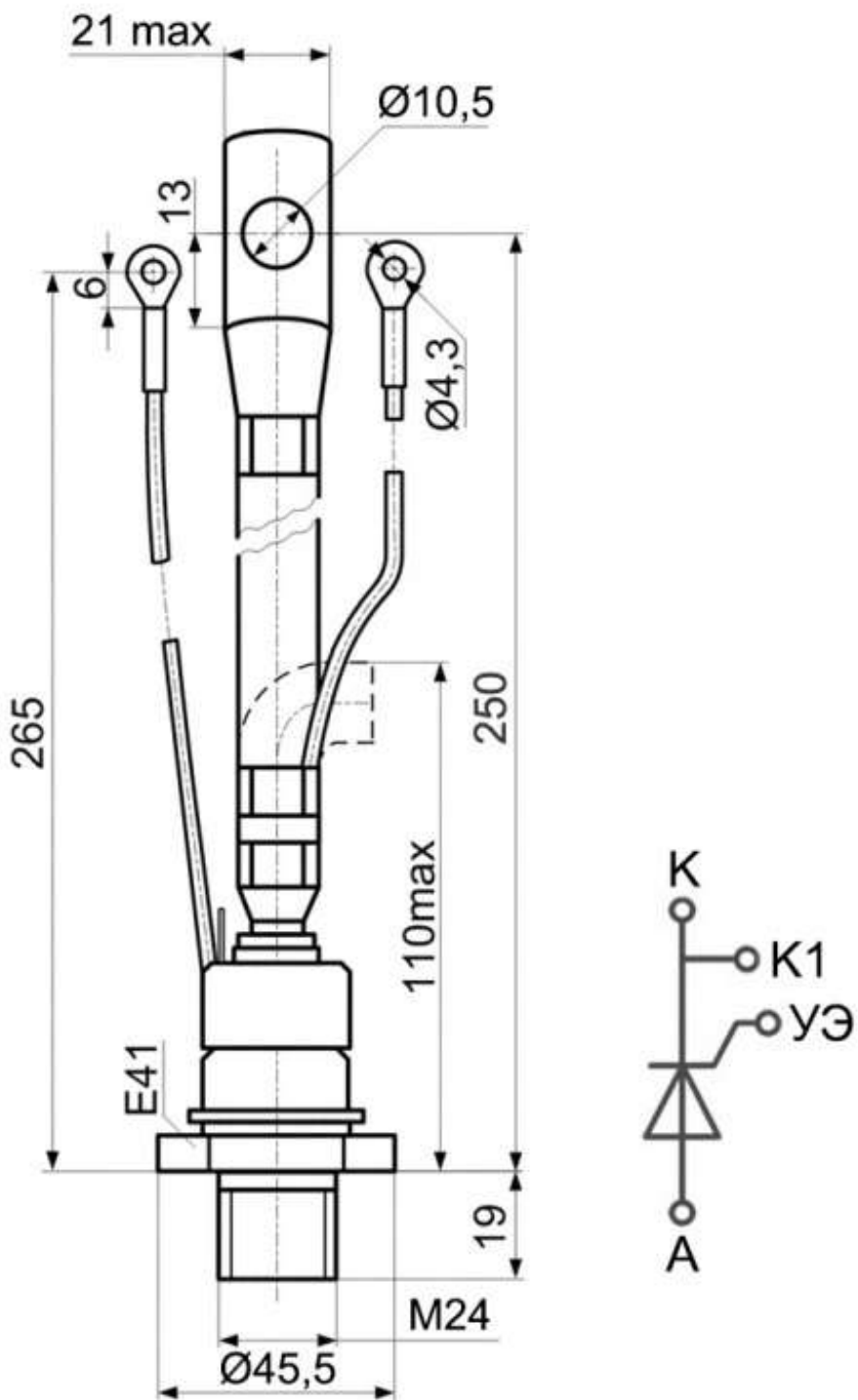
Обозначение группы	K2	E2	A2
$(dv_0/dt)_{crit} V/\text{мкс}$	320	500	1000

2) Время выключения ($dv_0/dt = 50 V/\text{мкс}$)

Обозначение группы	T2
$t_q, \text{мкс}$	160

ГАБАРИТНЫЕ РАЗМЕРЫ

Тип корпуса: ST7, T.SB1



К – катод;

А – анод;

К1 – вспомогательный катод;

УЭ – управляющий электрод;

Все размеры в миллиметрах

Тип Резьбы	W	H
Метрическая резьба Тип С	M24x1,5 – 8g	19
Метрическая резьба Тип В (по требованию)	M20x1,5 – 8g	15

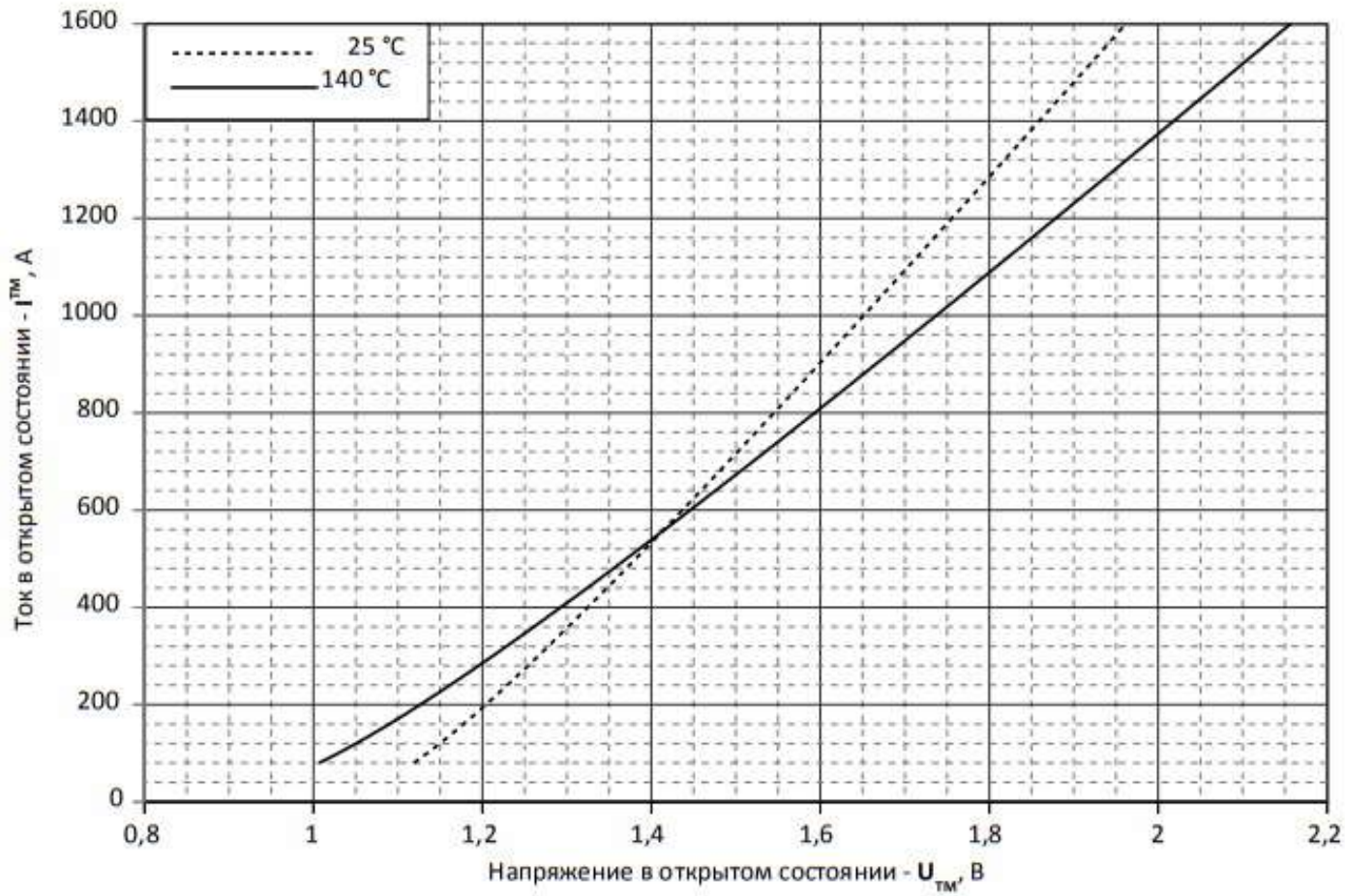


Рис. 1 – Пределная вольт – амперная характеристика

Аналитическая функция предельной вольт – амперной характеристики:

$$V_T = A + B \cdot i_T + C \cdot \ln(i_T + 1) + D \cdot \sqrt{i_T}$$

	Коэффициенты для графика	
	$T_i = 25^{\circ}\text{C}$	$T_i = T_{i\max}$
A	0.98158000	0.80402000
B	0.00046847	0.00062301
C	0.01752800	0.02673300
D	0.00253380	0.00396620

Модель предельной вольт – амперной характеристики (см. Рис. 1)

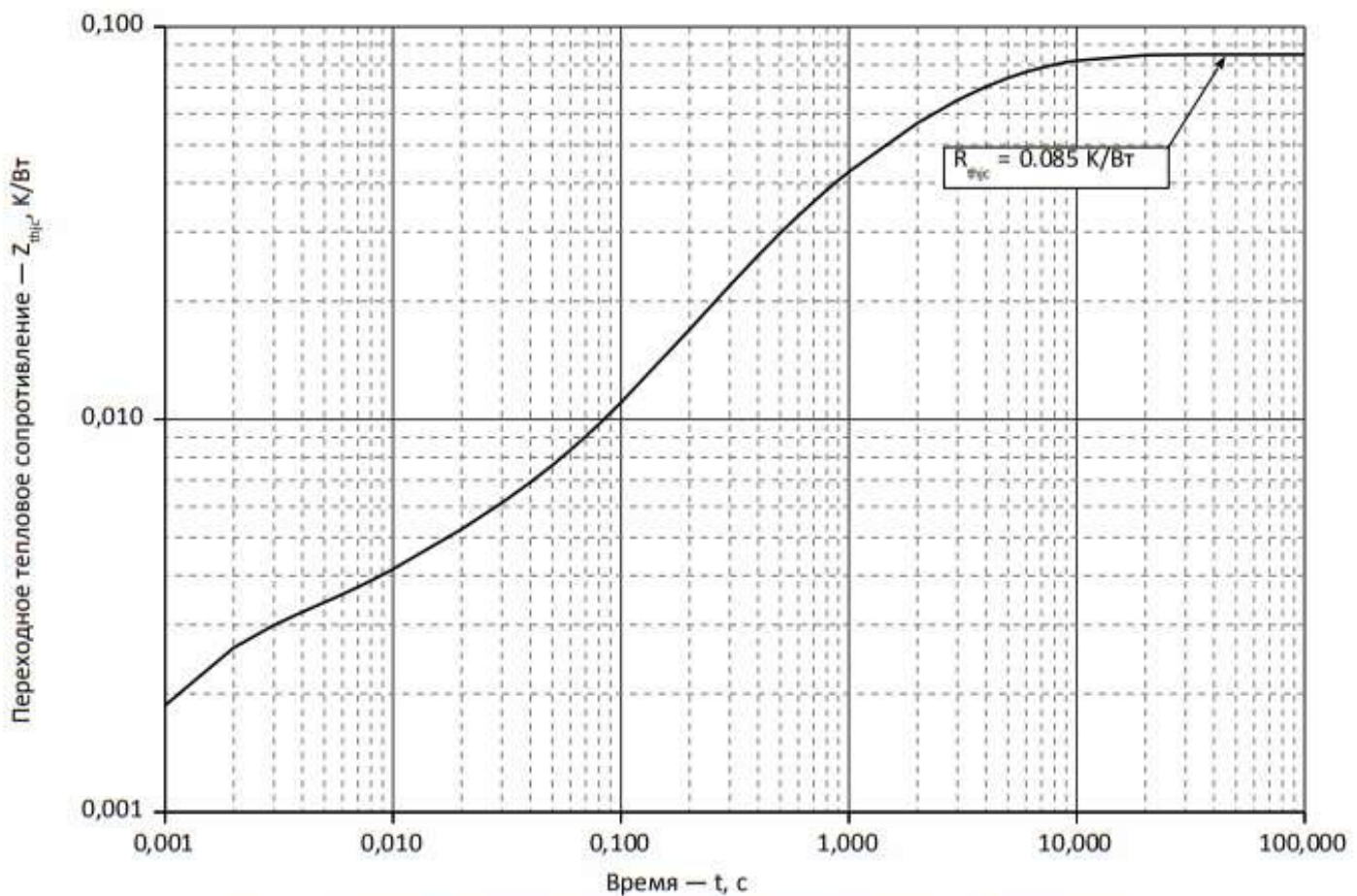


Рис. 2 – Зависимость переходного теплового сопротивления Z_{thyc} от времени t

Аналитическая зависимость переходного теплового сопротивления переход — корпус:

$$Z_{thyc} = \sum_{i=1}^n R_i \left(1 - e^{-\frac{t}{t_i}} \right)$$

Где $i = 1$ to n , n – число суммирующихся элементов.

t = продолжительность импульсного нагрева в секундах. $Z_{thyc} =$

Тепловое сопротивление за время t .

R_i, t_i = расчетные коэффициенты, приведенные в таблице.

Постоянный ток

i	1	2	3	4	5	6
$R_i, K/W$	0.023357	0.02733	0.01495	0.001445	0.002488	0.01543
t_i, s	4.627	2.249	0.3406	0.01043	0.0009112	0.9081

Модель переходного теплового сопротивления переход - корпус (см. Рис. 2)

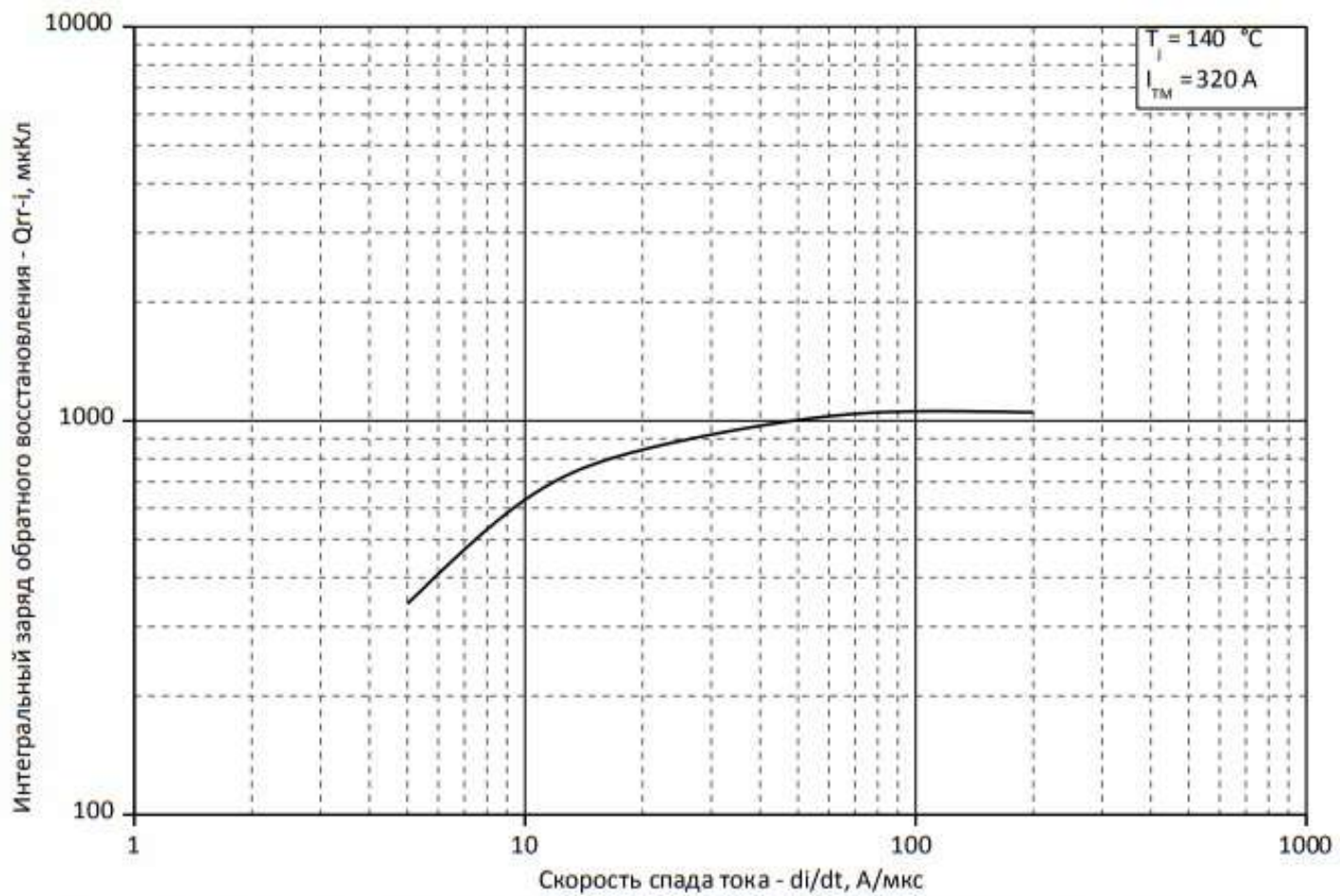


Рис. 3 – Зависимость максимального интегрального заряда обратного восстановления Q_{rr-i} от скорости спада тока di_{rr}/dt в открытом состоянии

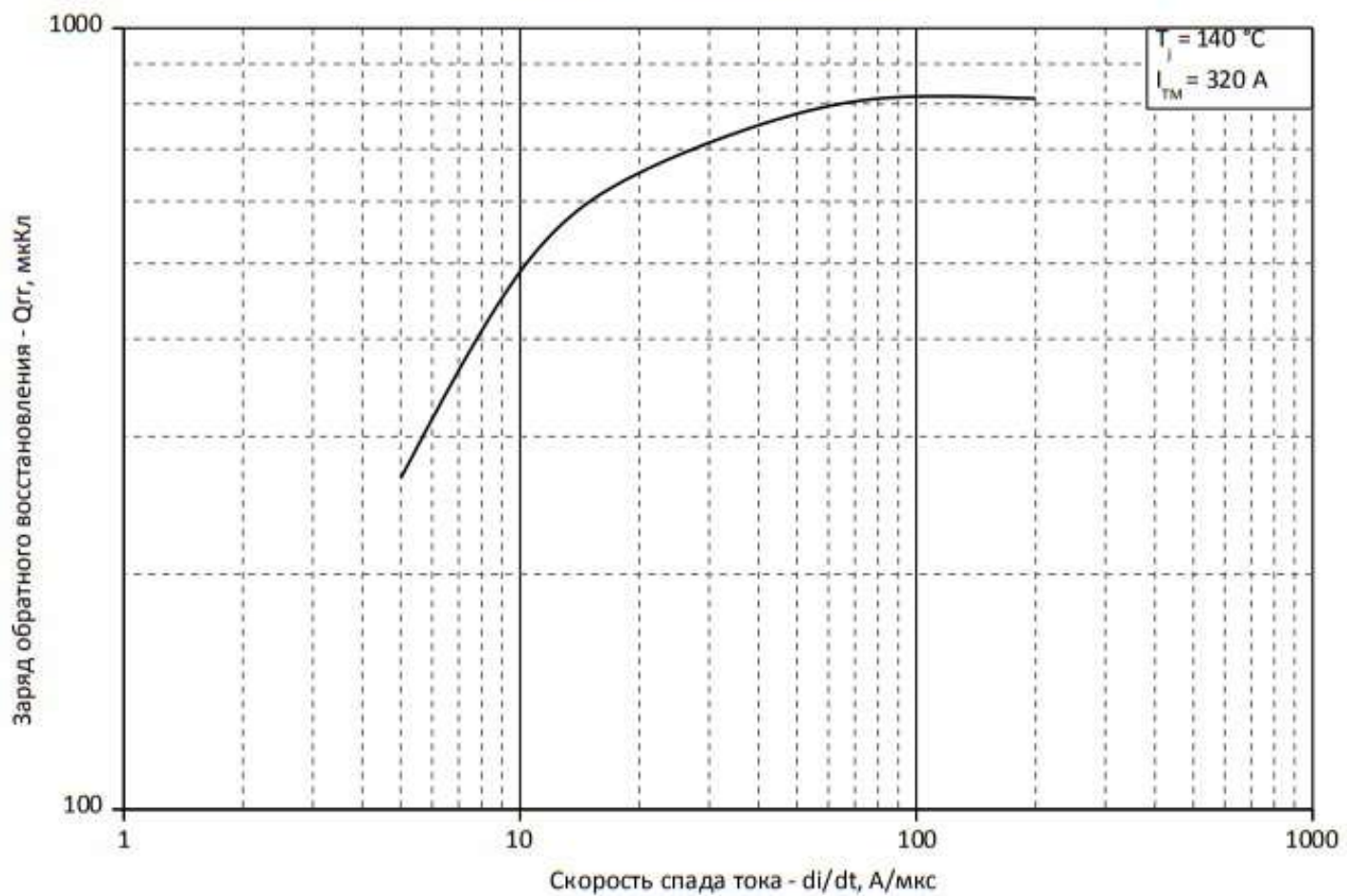


Рис. 4 – Зависимость максимального заряда обратного восстановления Q_{rr} от скорости спада тока di_{rr}/dt (по ГОСТ 24461, хорда 25%) в открытом состоянии

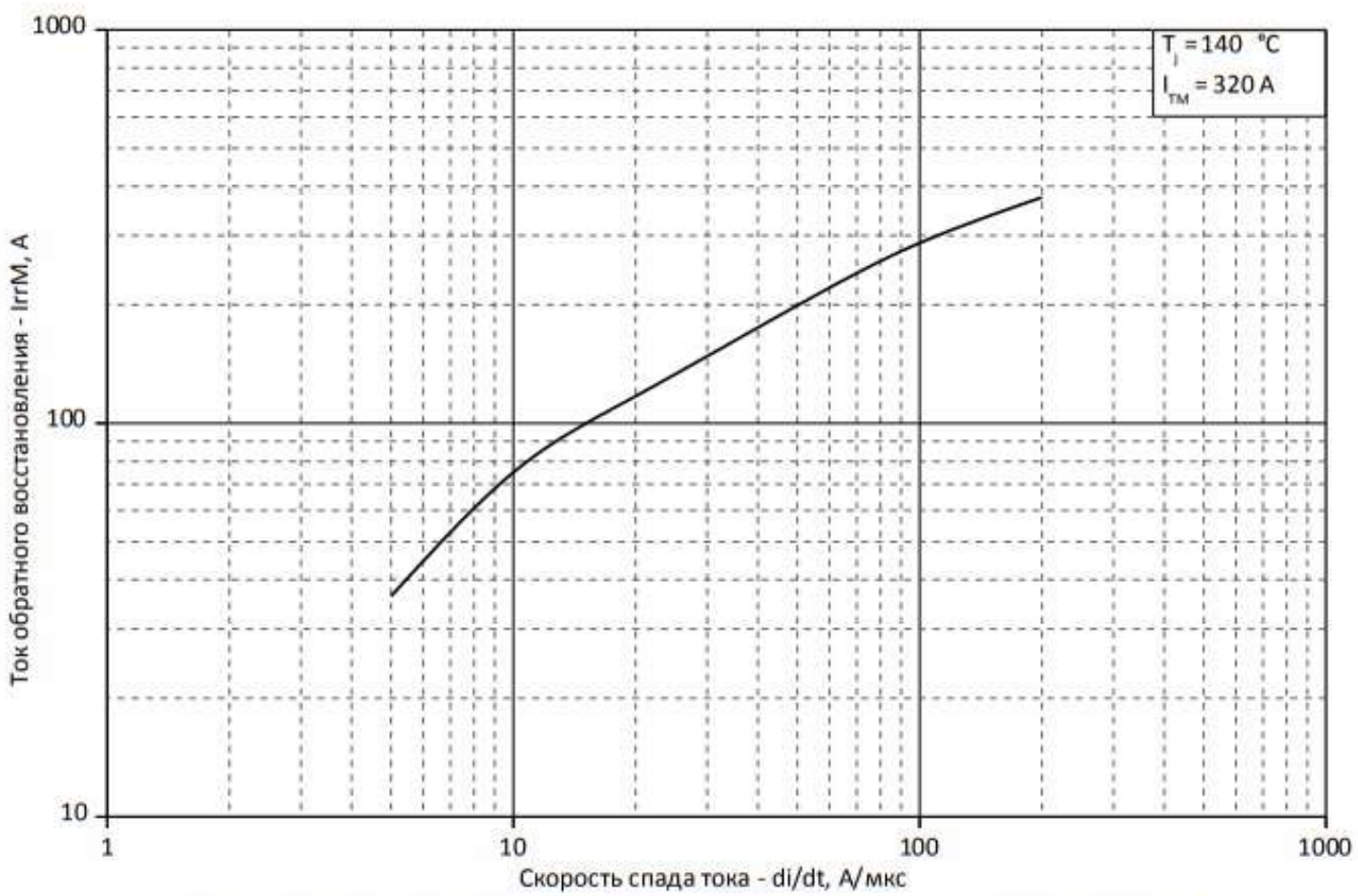


Рис. 5 – Зависимость максимального тока обратного восстановления I_{rrM} от скорости спада тока di_{rr}/dt в открытом состоянии

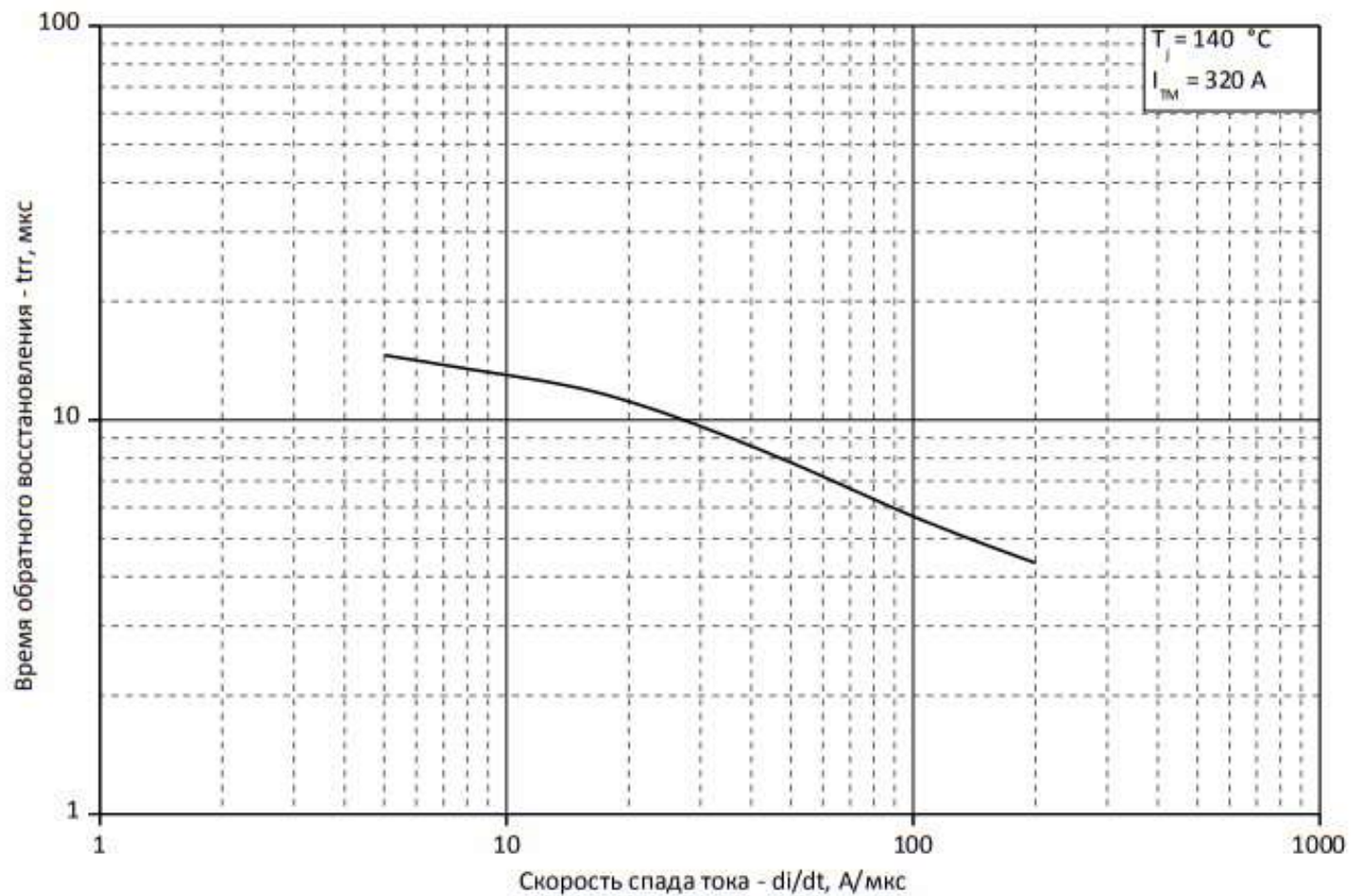


Рис. 6 – Зависимость максимального времени обратного восстановления t_{rr} от скорости спада тока di_{rr}/dt (по ГОСТ 24461, хорда 25%) в открытом состоянии

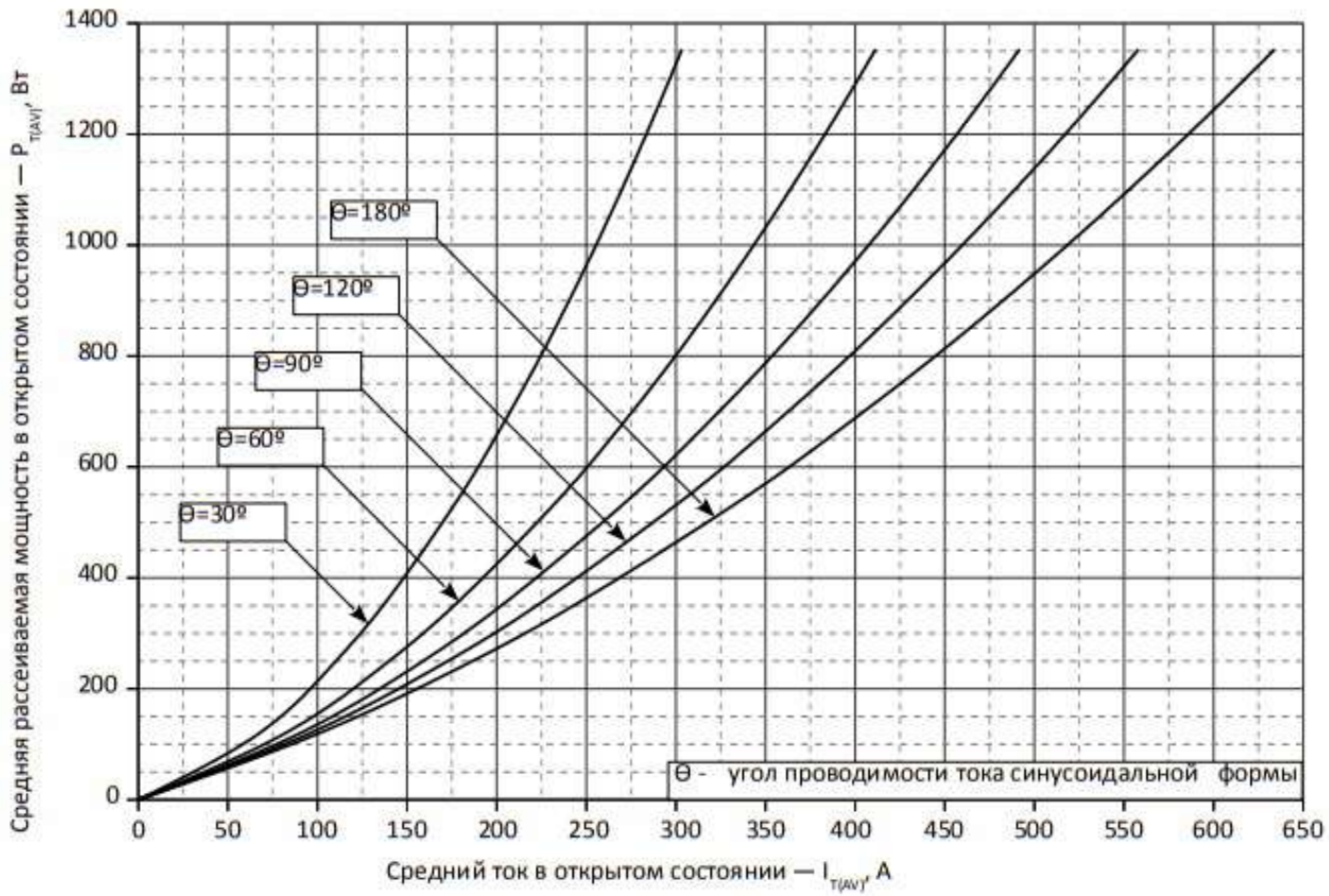


Рис. 7 - Зависимость потерь мощности P_{TAV} от среднего тока в открытом состоянии I_{TAV} синусоидальной формы при различных углах проводимости ($f=50$ Гц, двустороннее охлаждение)

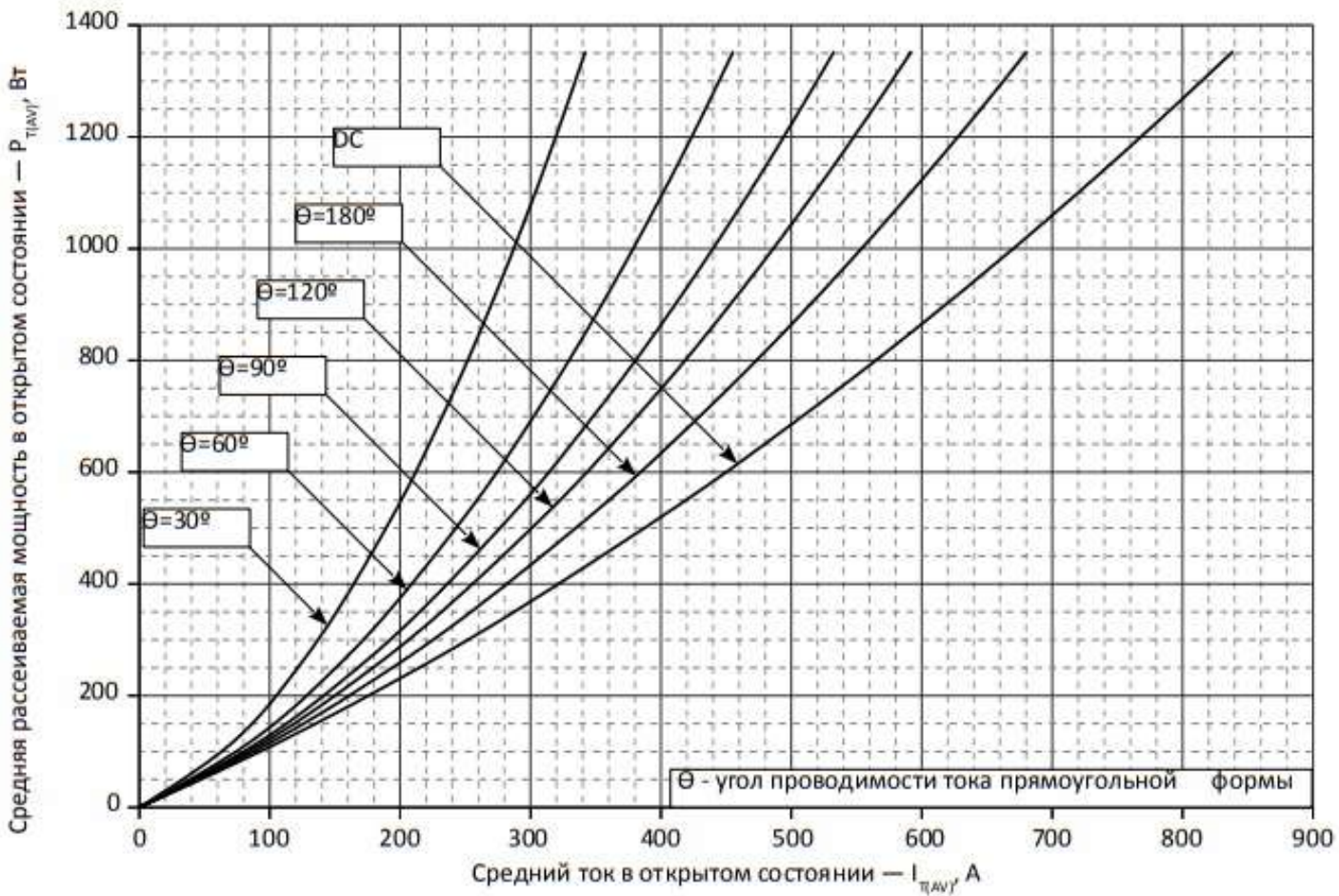


Рис. 8 – Зависимость потерь мощности P_{TAV} от среднего тока в открытом состоянии I_{TAV} прямоугольной формы при различных углах проводимости ($f=50$ Гц, двустороннее охлаждение)

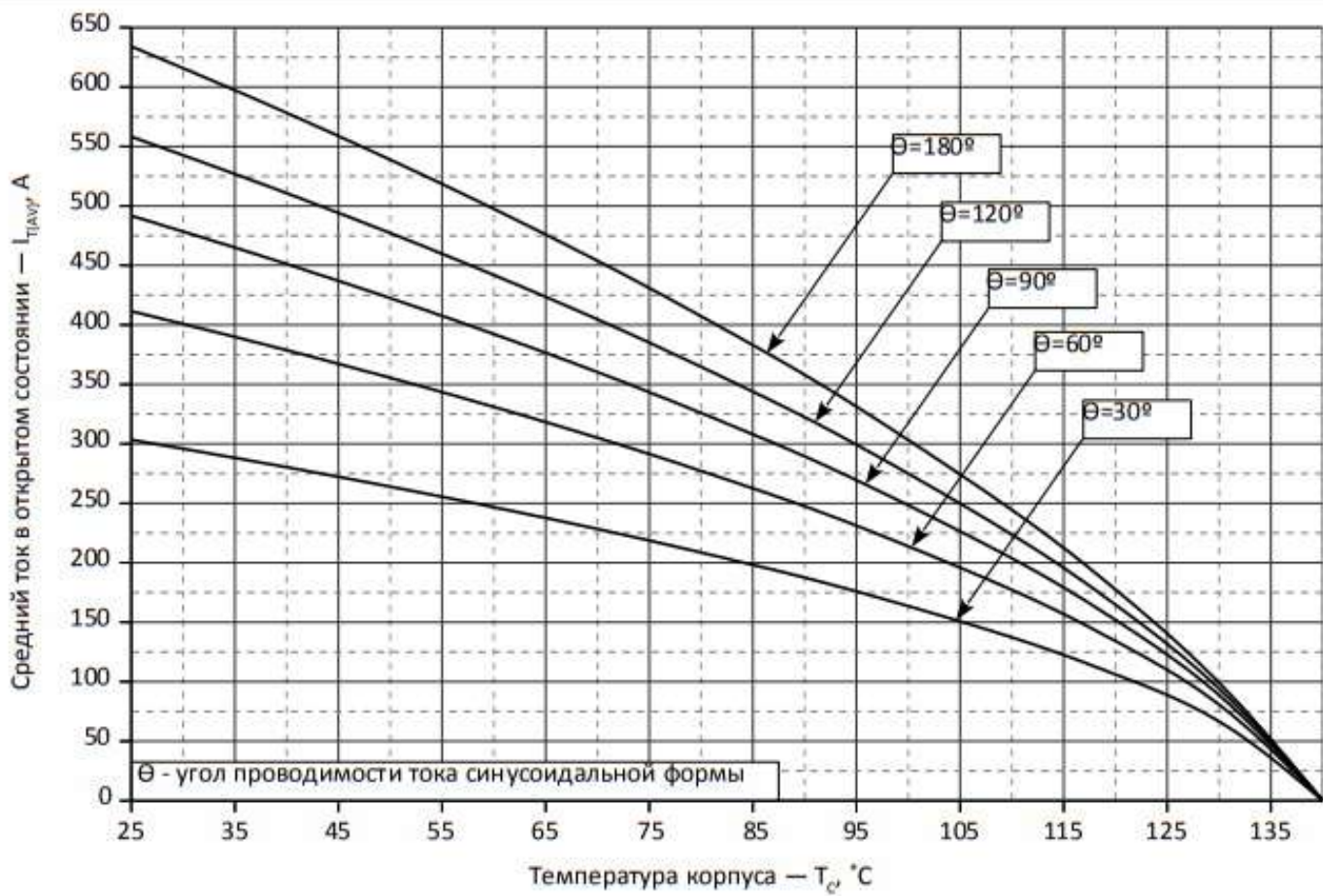


Рис. 9 – Зависимость среднего тока в открытом состоянии I_{TAV} от температуры корпуса T_c для синусоидальной формы тока при различных углах проводимости ($f=50$ Гц, Двустороннее охлаждение)

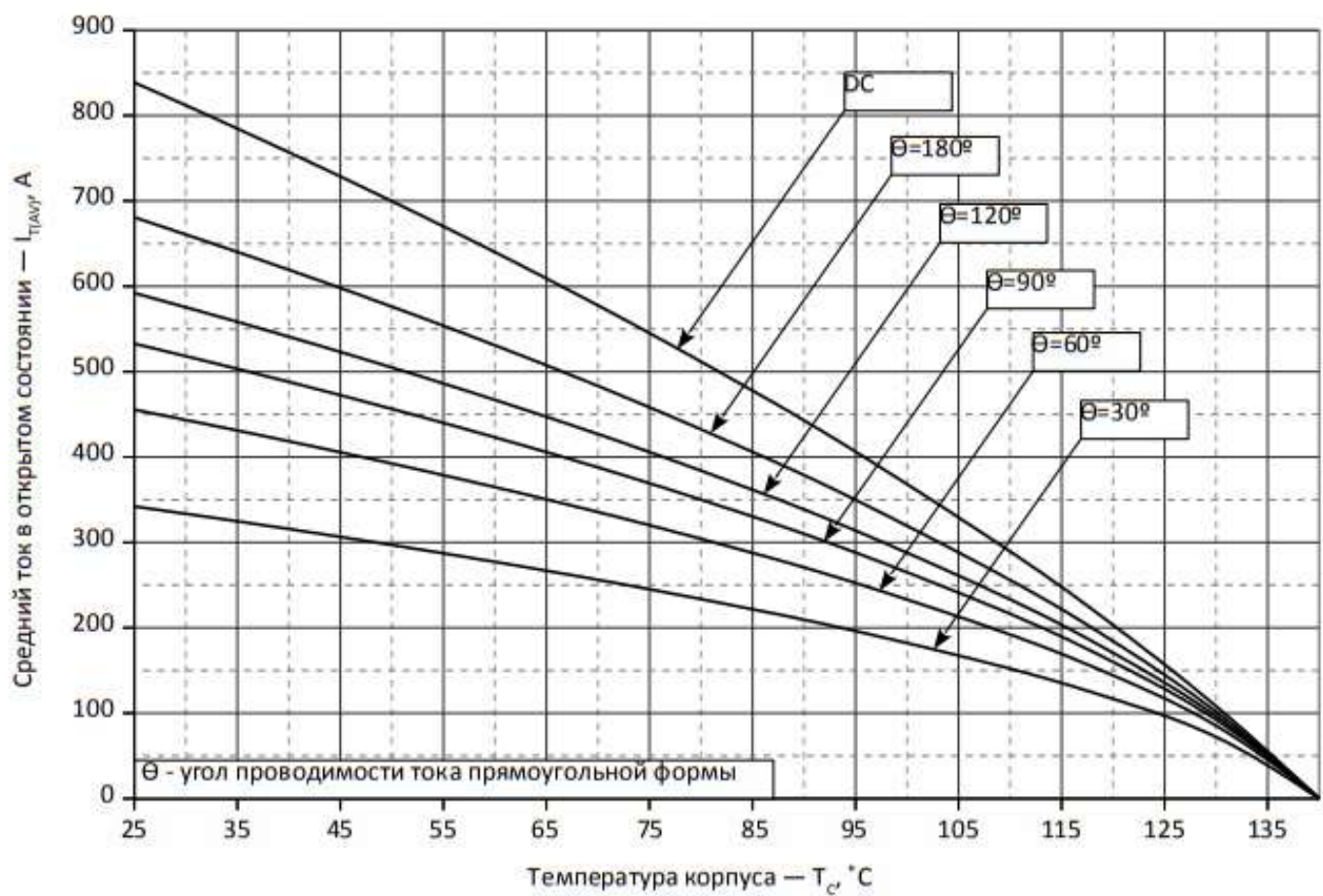


Рис. 10 - Зависимость среднего тока в открытом состоянии I_{TAV} от температуры корпуса T_c для прямоугольной формы тока при различных углах проводимости ($f=50$ Гц, Двустороннее охлаждение)

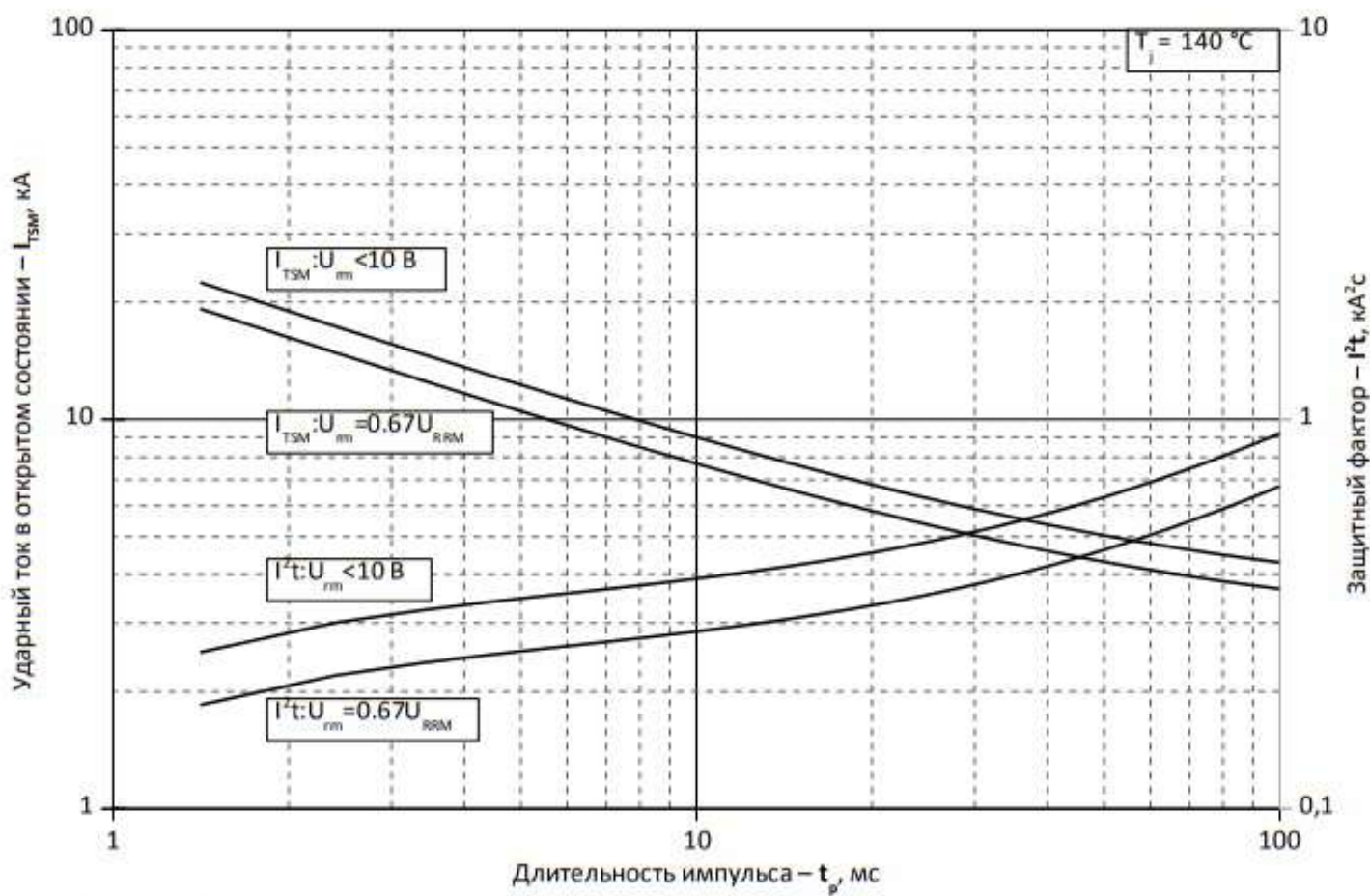


Рис. 11 – Зависимость максимальной амплитуды ударного тока в открытом состоянии I_{TSM} и защитного фактора I^2t от длительности импульса t_p

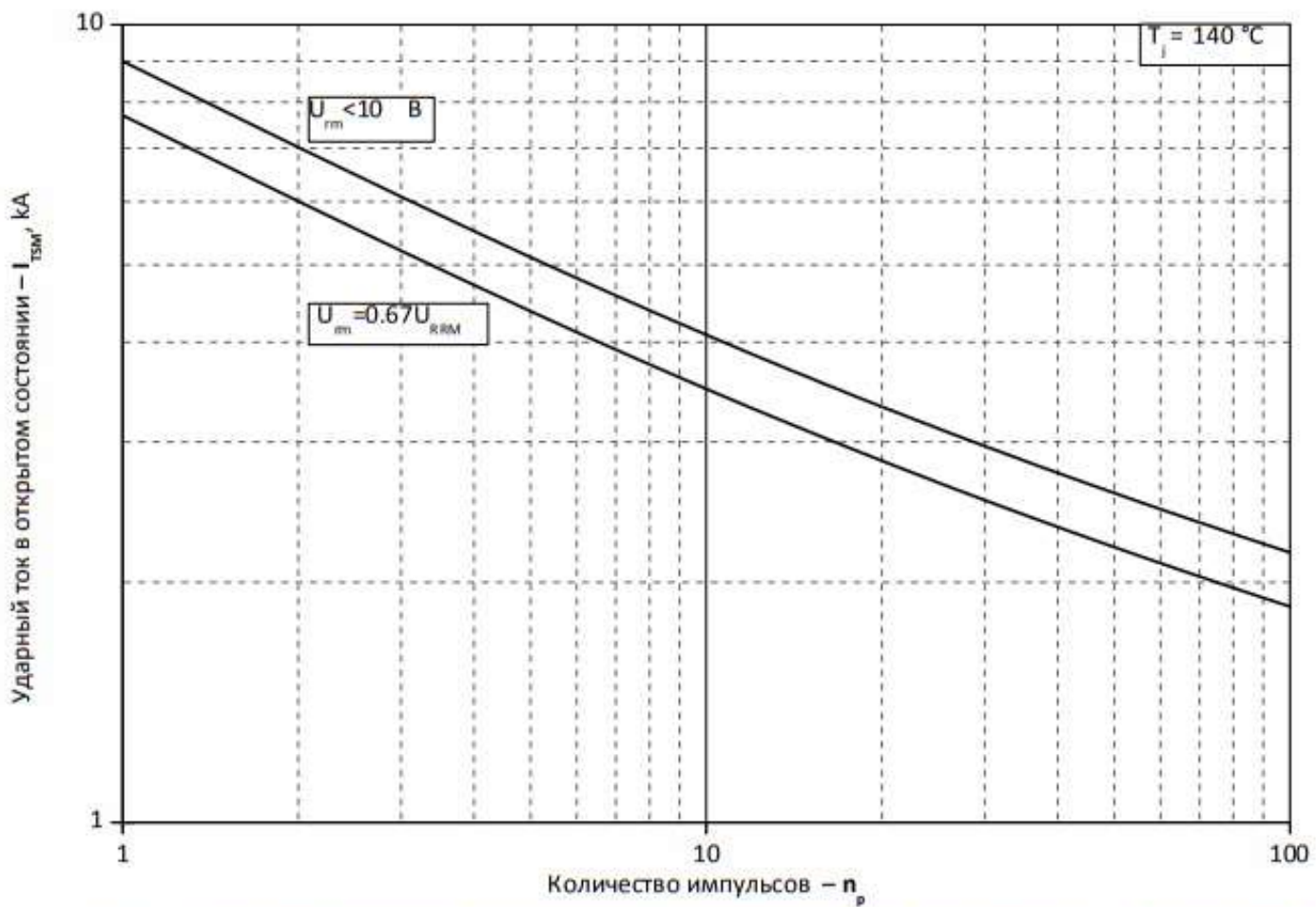


Рис. 12 – Зависимость максимальной амплитуды ударного тока в открытом состоянии I_{TSM} от количества импульсов n_p